# ランタンシリケート セラミックスと SOFC 特性

# — Nd 磁石による c 軸配向—

Lanthanum Silicate Ceramics and Their SOFC Characteristics —c-axis Orientation Using Nd Magnets—

**Key-words**: Neodymium magnet, Magnetic field *c*-axis orientation, Oxide ionic conduction. Solid oxide fuel cell

## 中山 享

Susumu NAKAYAMA (National Institute of Technology (KOSEN), Niihama College)

#### 1. はじめに

酸化物イオン伝導体としては、蛍石型構造のジルコニア系、セリア系、ビスマス系およびペロブスカイト構造のランタンガレート系がよく知られており、最近では新たに六方ペロブスカイト関連酸化物などが報告されている  $^{1)\sim4}$ . これらの伝導機構の多くは、酸化物イオンの格子欠陥を使ったものである。筆者は、それらと異なるアパタイト型構造をとるランタンシリケート(LSO)系酸化物イオン伝導体を開発しており、500  $^{\circ}$  以下の低中温域ではジルコニア系よりも高い伝導性を示す  $^{5),6}$ . 基本組成  $^{\circ}$  La $_{9,33}$ Si $_{6}$ O $_{26}$  のアパタイト結晶構造を図1に示すが、 $^{\circ}$  た軸に沿った  $^{\circ}$  2a サイトをケイ素と酸素の四面体(SiO $_{4}$ )には属さない酸素イオンが大きく酸化物イオン伝導に関わっていることが、単結晶の結晶構造解析および量子化学計算により明らか

6h#{|\(La)\) 2a#{|\(O)\) 4f#{|\(La)\) SiO<sub>4</sub>

図1 La<sub>9.33</sub>Si<sub>6</sub>O<sub>26</sub>の結晶構造

にされている $^{7}$ . 基本組成  $La_{9,33}Si_6O_{26}$  セラミックスのイオン伝導は500  $\mathbb{C}$ で  $4\times10^{-6}$   $S\cdot cm^{-1}$  であるが,酸素過剰組成である  $La_{9,7}Si_6O_{26,55}$  や  $La_{10}Si_6O_{27}$  セラミックスにおいては500  $\mathbb{C}$  で  $4\times10^{-3}$   $S\cdot cm^{-1}$  以上の高いイオン伝導を示す $^{8)}$ . 酸素過剰組成  $La_{9,8}Si_6O_{26,7}$  は実際にはSi 欠損組成  $La_{9,44}$   $(Si_{5,92}\square_{0,08})O_{26}$  と表記するのが正しいと考えるが,本稿では酸素過剰組成の表記を使うことにする $^{9}$ .

LSO ではc軸に沿った2aサイトの酸素イオンがイ オン伝導に関与するため、 c 軸方向に配向したサンプ ルを作製すれば、そのイオン伝導性の向上が期待でき る. 六方晶系 LSO は、強力な磁場中では磁場方向に c 軸配向する特性があり、実際に c 軸配向したサンプ ルを得ることができた<sup>10),11)</sup>. 筆者らは, 超伝導磁石 を用いた 10T の強磁場下で  $La_{10}Si_6O_{27}$  組成の c 軸配向 セラミックスを作製し、無配向状態のサンプルより約 5倍高いイオン伝導を示すことを報告した100.しかし ながら、10Tの強磁場を作り出す装置は高価であるた め、安価で容易に入手できる Nd 磁石を用いた図2に 示すような装置(0.5 T程度の磁場を実現できる)によっ て c 軸配向技術を検討し、磁性を持つ希土類元素から なる RE<sub>933</sub>Si<sub>6</sub>O<sub>26</sub> (RE: Pr. Nd. Sm. Gd. Dv. Ho) 組成, さらに磁性を持たない La は一部を Nd に置換 した $(La_{9.00}Nd_{0.33})Si_6O_{26}$ 組成でc軸配向セラミックス を作製した<sup>12)</sup>. この技術によって、SOFC 電解質に 使える大型サイズの c軸配向 LSO セラミックスの作 製が可能になる. その他, c軸配向 LSO セラミック スの作製例としてはLa<sub>2</sub>SiO<sub>5</sub>/La<sub>2</sub>Si<sub>2</sub>O<sub>7</sub>を用いたサンド イッチ拡散法および B<sub>2</sub>O<sub>3</sub> 蒸気と La<sub>2</sub>SiO<sub>5</sub> 焼結体を反 応させる気相法などが報告されている<sup>9),13)</sup>.

本稿では、高い酸化物イオン伝導が期待できる酸素 過剰組成 LSO の La および Si の一部をアルカリ土類 元素で置換したセラミックス、また Nd 磁石を用いた 0.5



図2 磁場配向装置

T程度の磁場下でのc軸配向セラミックスの作製、さらに作製されたc軸配向セラミックスを電解質に用いた SOFC 単セルについて紹介する $^{14}$ .

### 2. La<sub>9.33</sub>Sr<sub>0.37</sub>Si<sub>5.7</sub>Mg<sub>0.3</sub>O<sub>26.065</sub> の化学的安定性と イオン伝導

図3に、1200℃仮焼粉末を一軸成型した後に1700℃ 焼結で作製した La<sub>9.7</sub>Si<sub>6</sub>O<sub>26.55</sub>, La<sub>9.7</sub>Si<sub>5.7</sub>Mg<sub>0.3</sub>O<sub>26.25</sub>, La<sub>9.33</sub>  $Sr_{0.37}Si_{5.7}Mg_{0.3}O_{26.065}$  セラミックスについて、それらのバ ルクのイオン伝導に関するアレニウスプロットを示す. La<sub>9.7</sub>Si<sub>6</sub>O<sub>26.55</sub> の Si の一部を Mg に 置換 した La<sub>9.7</sub>Si<sub>5.7</sub>  $Mg_{03}O_{2625}$ でイオン伝導性の向上が確認された. さらに,  $La_{97}Si_{57}Mg_{03}O_{2625}$ の La の一部をアルカリ土類元素(MgCa, Sr, Ba) で置換した場合のイオン伝導について調 べたところ、Sr で置換した La<sub>9.33</sub>Sr<sub>0.37</sub>Si<sub>5.7</sub>Mg<sub>0.3</sub>O<sub>26.065</sub> 組 成で最も高いイオン伝導 (500 ℃で 1.9×10<sup>-2</sup> S·cm<sup>-1</sup>) が得られた. La<sub>97</sub>Si<sub>6</sub>O<sub>2655</sub> に較べて, 500 ℃でのイオ ン伝導率は1.6倍向上した. 同様に, 酸素過剰組成 LSO の Si の一部を Mg や Al で置換した La<sub>96</sub>Si<sub>57</sub>Mg<sub>03</sub>  $O_{26.1}$  および  $La_{10}Si_{5.5}Al_{0.5}O_{26.75}$  でイオン伝導性が向上す ること、Siの一部をAlでLaの一部をBaやSrで置 換した La<sub>95</sub>Ba<sub>05</sub>Si<sub>55</sub>Al<sub>05</sub>O<sub>265</sub> および La<sub>938</sub>Sr<sub>045</sub>Si<sub>555</sub>Al<sub>045</sub> O<sub>26+6</sub>ではさらに高いイオン伝導を示すことが報告さ れている 15)~18).

酸素過剰組成 LSO 焼結体は大気中に放置すると崩壊することが知られている  $^{16),19),20)}$ . 実際に,図  $^{3}$  に示すように  $^{3}$  に $^{3}$  に発結体では室温大気下での崩壊

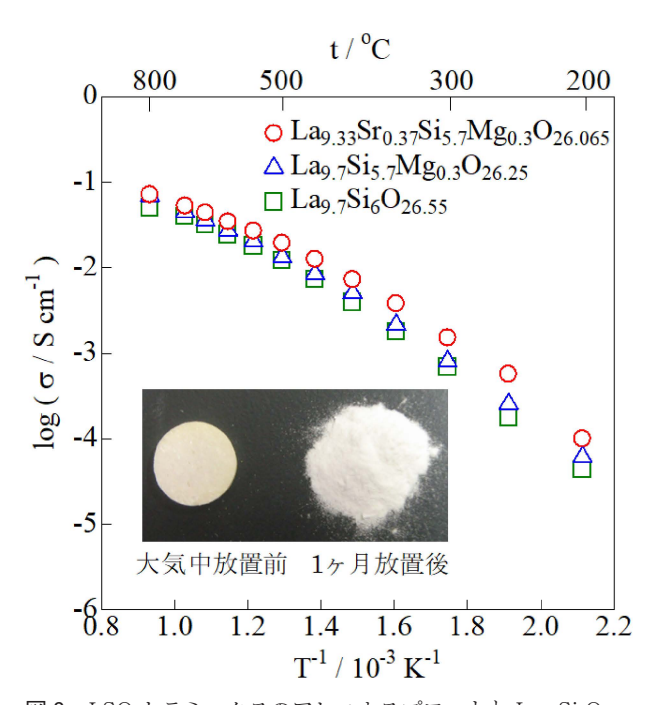


図3 LSO セラミックスのアレニウスプロットと  $La_{9.7}Si_6O_{26.55}$  焼結体の崩壊現象

現象(セラミックス焼結体が粉末化する現象)が観測された。崩壊後の粉末は、XRD 測定からアパタイト相の他に  $La_2SiO_5$  や  $La(OH)_3$  の生成相が確認された  $La_{9,33}Sr_{0,37}$  Si $_{5,7}Mg_{0,3}O_{262}$  および  $La_{9,33}Sr_{0,37}$  Si $_{5,7}Mg_{0,3}O_{26065}$  焼結体では確認できなかった。崩壊現象については、酸素過剰組成 LSO セラミックスで確認される不純物相の  $La_2SiO_5$  や  $La_2O_3$  と大気中の  $H_2O_5$  や  $CO_2$  との反応および還元状態での SiO の蒸発が原因と報告されている  $La_{10}Si_{5,8}Al_{0,2}O_{26,9}$  に少量の Fe を添加することで化学的安定性が向上する報告例もある  $La_{10}Si_{5,8}Al_{0,2}O_{26,9}$  に少量の Fe を添加することで化学的安定性が向上する報告例もある  $La_{10}Si_{5,8}Al_{0,2}O_{26,9}$  に少量の Fe を添加することで化

#### 3. (La<sub>0.8</sub>Nd<sub>0.2</sub>)<sub>9.33</sub>Sr<sub>0.37</sub>Si<sub>5.7</sub>Mg<sub>0.3</sub>O<sub>26.065</sub> 磁場配向品

優れた化学的安定性とイオン伝導性を示す Lagas  $Sr_{0.37}Si_{5.7}Mg_{0.3}O_{26.065}$ のLaの一部をNdに置換した (La<sub>0.8</sub>Nd<sub>0.2</sub>)<sub>9.33</sub>Sr<sub>0.37</sub>Si<sub>5.7</sub>Mg<sub>0.3</sub>O<sub>26.065</sub> (1400 ℃ 仮焼粉末, 20  $\mathbb{C}$  での  $\mu$ eff: 3.5  $\mu$ B) をエタノールに分散した泥漿を, 図2に示すNd磁石を用いた磁場中にて乾燥することで、 c 軸配向体を得られた. Nd 磁石下で c 軸配向させる ためには LSO 仮焼粉末の結晶相がほぼ六方晶系のア パタイト相になっていることが必要であり、1300℃ 以下の仮焼粉末ではc軸配向体は得られなかった。図4に、 Nd 磁石下で得た 1400 ℃ 仮焼粉末の c 軸配向体を 1700 ℃焼結で作製した焼結体上面の XRD パターンを, 1400 ℃ 仮焼粉末を一軸成型した後に 1700 ℃ 焼結で作 製した焼結体上面の XRD パターンと共に示す. c 軸 配向品では,一軸成型非配向品に観測された多くの XRD ピークのうち. (002)と(004)の XRD ピーク強 度のみが著しく大きくなっており, c軸に配向してい ることが確認できた.

c軸配向品(La<sub>0.8</sub>Nd<sub>0.2</sub>)<sub>9.33</sub>Sr<sub>0.37</sub>Si<sub>5.7</sub>Mg<sub>0.3</sub>O<sub>26.065</sub>のc軸

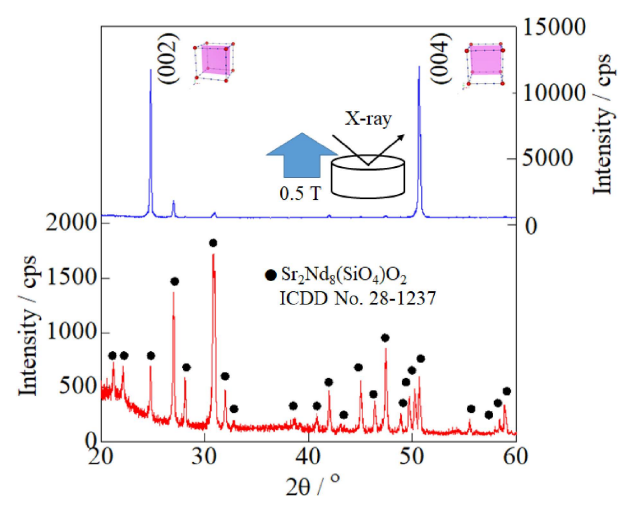


図 4  $(La_{0.8}Nd_{0.2})_{9.33}Sr_{0.37}Si_{5.7}Mg_{0.3}O_{26.065}$  の c 軸配向焼結体上面と一軸成型非配向焼結体上面の XRD パターン

に平行なバルクのイオン伝導( $\sigma$ ||)および c 軸に垂直なバルクイオン伝導( $\sigma$ ||)に関するアレニウスプロットを、1400 C 仮焼粉末を一軸成型した後に1700 C 焼結で作製した非配向品( $La_{0.8}Nd_{0.2}$ ) $_{9.33}Sr_{0.37}Si_{5.7}$   $Mg_{0.3}O_{26.065}$  のバルクのイオン伝導( $\sigma_{press}$ )に関するアレニウスプロットと共に、図  $\sigma_{press}$  に関するアレニウスプロットと共に、図  $\sigma_{press}$  に関するアレニウスプロットと共に、図  $\sigma_{press}$  に関するアレニウスプロットと共に、図  $\sigma_{press}$  に関するアレニウスプロットと共に、図  $\sigma_{press}$  に動しる高いイオン伝導( $\sigma_{press}$  ( $\sigma_{press}$  ) を示し、 $\sigma_{press}$  に  $\sigma_{press}$  ( $\sigma_{press}$  ) と比較しても高い値であった。なお、 $\sigma_{press}$  は  $\sigma_{press}$  を  $\sigma_{press}$  は  $\sigma_{press}$  を  $\sigma_{press}$  は  $\sigma_{press}$  を  $\sigma_{p$ 

#### 4. SOFC 発電特性

1200 ℃ 仮焼粉末を一軸成型後に 1700 ℃ 焼結した  $La_{9.33}Sr_{0.37}Si_{5.7}Mg_{0.3}O_{26.065}$  および 1400 ℃ 仮焼粉末を Nd 磁石下にて c 軸配向後に 1700 ℃ 焼結した  $(La_{0.8}Nd_{0.2})_{9.33}$   $Sr_{0.37}Si_{5.7}Mg_{0.3}O_{26.065}$  を電解質に用いて作製した電解質支持タイプの SOFC 単セルの発電特性を調べた.電解質の厚みは 1 mm,電極径は  $\phi 8$  mm である.図 6 に,550 ℃ での SOFC 発電特性を示す.一軸成形非配向品  $La_{9.33}Sr_{0.37}Si_{5.7}Mg_{0.3}O_{26.065}$  を用いた SOFC 単セルの 450,500,550 ℃ での直流抵抗値はそれぞれ 162,70,39

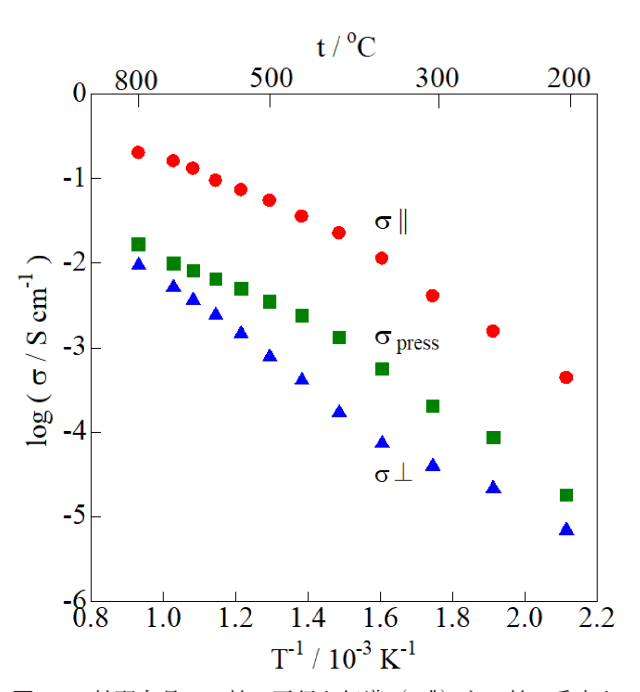


図5 c 軸配向品の c 軸に平行な伝導( $\sigma$   $\parallel$ )と c 軸に垂直な 伝導( $\sigma$   $\perp$ )および一軸成型非配向品の伝導( $\sigma$  press) に関するアレニウスプロット

 $\Omega$ で、最高発電出力はそれぞれ 15、30、33 mW·cm<sup>-2</sup>であった.一方、c 軸配 向品  $(La_{08}Nd_{02})_{9:33}Sr_{0:37}Si_{5:7}$  Mg<sub>0:3</sub> $O_{26:065}$  を用いた SOFC 単セルの 450、500、550  $\mathbb C$  での直流抵抗値は 98、41、24  $\Omega$  で、最高発電出力は 29、60、70 mW·cm<sup>-2</sup>であり、一軸成形非配向品に較べて最高発電出力は 2 倍以上となった  $^{14}$ .

LSO 電解質を用いた SOFC 発電特性として、厚 み1mmの焼結体を用いた電解質支持タイプでは  $La_{10}Si_{6}O_{27} \subset 4 \text{ mW} \cdot \text{cm}^{-2} (600 \text{ }^{\circ}\text{C}), La_{10}Si_{55}Al_{05}O_{2675}$ で 60 mW·cm<sup>-2</sup> (700 °C), La<sub>10</sub>Si<sub>5</sub>CuO<sub>26</sub> で 9 mW·cm<sup>-2</sup> (600 ℃) が報告されている 21)~23). 一方, 電極支持タ イプでは厚み 0.1 mm の DC プラズマ溶射膜  $\text{La}_{971}\text{Si}_{572}\text{Mg}_{038}\text{O}_{2629}$ で18 mW·cm<sup>-2</sup>(600 ℃),厚み2.8 μm の高周波マグネトロンスパッタリング膜 Lag<sub>70</sub>Si<sub>586</sub>  $Mg_{0.14}O_{2771}$  で 212 mW·cm<sup>-2</sup> (700 °C), La<sub>2</sub>SiO<sub>5</sub> で修飾 した La<sub>98</sub>Si<sub>57</sub>Mg<sub>03</sub>O<sub>264</sub> ケイ酸塩層をスピンコート形成 後に固体反応拡散し緻密化した厚み8 μm 膜で94 mW·cm<sup>-2</sup> (600 ℃) が報告されている <sup>24)~26)</sup>. 本稿の Nd 磁石下で作製した c 軸配向品を用いた SOFC 発電 特性 70 mW·cm<sup>-2</sup> (550 ℃) と比較して, より薄い電 解質膜が形成できる電極支持タイプでは同等程度の特 性が得られている.

ジルコニア系 SOFC などでは、電解質/電極間の反応防止目的として中間層  $Sm_{02}Ce_{08}O_{19}$  を形成させる技術がある。図 6 に示す SOFC 単セルでも中間層  $Sm_{02}Ce_{08}O_{19}$  を形成した。空気極側および燃料極側どちらにも  $Sm_{02}Ce_{08}O_{19}$  形成した場合は、形成しない場合に較べて最高発電出力が 3 倍程度向上した。理由としては、以下のことが考えられる。図 7(a) に示すよ

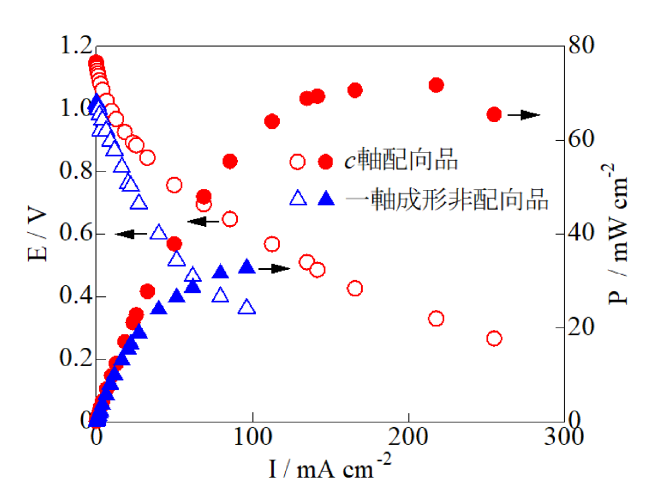


図 6 c 軸配向品( $(La_{0.8}Nd_{0.2})_{9.33}Sr_{0.37}Si_{5.7}Mg_{0.3}O_{26.065})$  および 一軸成形非配向品( $La_{9.33}Sr_{0.37}Si_{5.7}Mg_{0.3}O_{26.065})$  を電解質に用いた SOFC 単セル(3%  $H_2/Ar$  バランス | Pt |  $Sm_{0.2}Ce_{0.8}O_{1.9}$  | 電解質 |  $Sm_{0.2}Ce_{0.8}O_{1.9}$  | Pt | air)の550 Cにおける I-V 曲線と出力密度

うに c 軸配向品の電解質中では O2- 伝導チャネル方向 をある程度揃えることができ(異方性), O<sup>2</sup> 伝導が 容易となる. しかしながら、Pt 電極は多孔質である ため電解質とPt粒子が接する箇所ではO<sup>2</sup>伝導がで きるが、接しない箇所では $O^2$  伝導ができず、 $O^2$  伝 導路が限られる.一方,図7(b)に示すように電解質/ 電極間に形成した中間層 Sm<sub>0</sub>,Ce<sub>0</sub>,O<sub>1</sub>, は等方性 O<sup>2</sup> 伝 導を示すため拡散層として機能し、電解質/電極間を 移動できる O<sup>2-</sup> イオン数が増加する.

最後に、酸素過剰組成 La<sub>98</sub>(SiO<sub>4</sub>)<sub>6</sub>O<sub>27</sub>では、アパタ イト組成  $La_r(SiO_4)_6O_{15r-12}$  ( $x=8\sim9.33$ ) での最大酸 素数 26 個 (2a サイトに位置する最大酸素数 2 個) を 超えた過剰酸素は格子間酸素として存在し、高い酸化 物イオン伝導に影響を与えると説明されてきた.一方. 筆者はアパタイトイオン伝導体の発見当初から酸素過 剰組成の緻密化されたセラミックスの実測密度が、X 線回折から求めた格子定数と酸素過剰組成の式量より 計算した理論密度とまったく一致しないことを疑問に 思っていた。2013年に報告された酸素過剰組成の La<sub>9.5</sub>Si<sub>6</sub>O<sub>26.25</sub> は Si 空孔が存在する Si 欠損型 La<sub>9.50</sub>(Si<sub>5.87</sub>  $\square_{013}$ ) $O_{26}$  であるとの提案を参考にして酸素過剰組成の 式量をSi欠損組成の式量に変えて理論密度を計算し たところ、実測密度と一致したため Si 欠損型の提案 は正しいと確信した<sup>9</sup>. したがって、本稿で紹介した  $(La_{9.8}Nd_{0.2})_{9.33}Sr_{0.37}Si_{5.7}Mg_{0.3}O_{26.065}$ 組成は、 $(La_{9.8}Nd_{0.2})_{9.307}$  $Sr_{0.369}(Si_{5.686}\square_{0.314})Mg_{0.299}O_{26}$ と表記するのが適切と考 える.

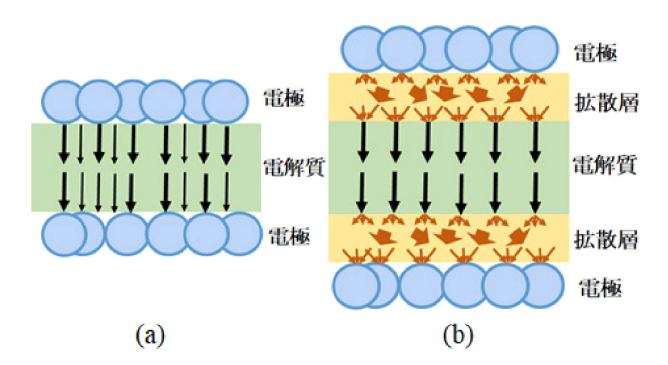


図7 c 軸配向電解質/電極間に(a)拡散層形成が無い場合 と(b)拡散層形成が有る場合の O<sup>2</sup> 伝導機構提案図

謝 辞 「アパタイトイオン伝導体」発見の環境を与えていた だきました品川白煉瓦株式会社(当時の新材料研究センター長・ 鮎澤信夫氏を始め多くの方々), 本研究に多大なるご助言・支援 いただきました株式会社本田技術研究所および坂本政臣氏(山 形大学・元理学部長) に深く感謝致します. また, 本研究は JSPS 科 研 費 (JP21560730, JP15K06495, JP19K05009, JP22K04693), JST A-STEP (AS231Z01137C AS251Z00645M, AS262Z01446M) およびマツダ財団, 大倉和 親記念財団、加藤科学振興会の研究助成支援によって行われま した. 暑くお礼申し上げます.

#### 文 献

- S. Nakayama et al., Open Ceram., 6, 100136 (2021).
- S. Nakayama, Ceram. Int., 28, 907-910 (2002).
- T. Ishihara et al., Solid State Ionics, 177, 1949 (2006).
- 4) M. Yashima et al., Nat. Commun., 12, 556 (2021).
- S. Nakayama et al., J. Mater. Chem., 5, 1801 (1995).
- S. Nakayama and M. Sakamoto, J. Eur. Ceram. Soc., 18, 1413 (1998).
- K. Fujii et al., J. Materi. Chem. A, 6, 10835 (2018).
- Y. Higuchi et al., Ceram. Int., 36, 955 (2010).
- K. Fukuda et al., Chem. Mater., 25, 2154 (2013).
- 10) S. Nakayama et al., Ceram. Int., 40, 1221 (2014).
- K. Kobayashi et al., Open Ceram., 6, 100100 (2021).
- S. Nakayama, J. Ceram. Soc. Jpn, 133, 577 (2025).
- S. Ide et al., J. Phys. Chem. C, 124, 2879 (2020).
- S. Nakayama, J. Ceram. Soc. Jpn, 133, 650 (2025)
- H. Yoshioka and S. Tanase, Solid State Ionics, 176, 2395 15)
- 16) A. L. Shaula et al., J. Solid State Chem., 178, 2050 (2005).
- 17) X. G. Cao et al., J. Alloy Compd, 523, 127 (2012).
- 18) D. Kioupis et al., Ceram. Int., 42, 9640 (2016)
- T. Nakao et al., Solid State Ionics, 179, 1567 (2008). 19)
- A. Mineshige et al., Solid State Ionics, 262, 555 (2014).
- 21) A. Mineshige et al., Solid State Ionics, 179, 1009 (2008).
- D. M. López et al., J. Power Sourc., 195, 2496 (2010).
- 23) X. Ding et al., J. Power Sourc., 306, 630 (2016).
- H. Yoshioka et al., Solid State Ionics, 181, 1707 (2010).
- Y. X. Liu et al., J. Power Sourc., 381, 101 (2018).
- A. Mineshige et al., J. Power Sourc., 475, 228543 (2020).

#### 筆者紹介



中山 享(なかやま すすむ)

1985年 愛媛大学大学院工学研究科修士課程 修了, 1985~1997年 品川白煉瓦(株)(現 品川 リフラクトリーズ(株)), 1997年 博士 (工学)/ 新潟大学, 1997年~新居浜工業高等専門学校, 新規機能性無機材料の開発とその製造技術に関す る研究に従事, 2022 JCS-JAPAN 優秀論文賞 [連絡先] 〒792-8580 愛媛県新居浜市八雲町 7-1 新居浜工業高等専門学校 生物応用化学科 E-mail: s.nakavama@niihama-nct.ac.ip